

## 5. Спектральный анализ дискретных сигналов

### 5.1. Дискретизация спектра сигнала. Теорема Котельникова в частотной области

**Теорема (Котельникова в частотной области):** Спектр  $S(\omega)$  сигнала  $s(t)$  ограниченной длительности  $\tau_u$  полностью определяется своими дискретными значениями  $\{S(n\Omega)\}_{n=-\infty}^{+\infty}$ , взятыми с интервалом  $\Omega \leq \frac{2\pi}{\tau_u}$  и может быть представлен рядом Котельникова

в частотной области:

$$S(\omega) = \sum_{n=-\infty}^{+\infty} S(n\Omega) \operatorname{sinc} \left[ \frac{\pi}{\Omega} (\omega - n\Omega) \right] \quad (5.1)$$

#### Доказательство

Рассмотрим сигнал ограниченной длительности  $s(t)$  (рис.5.1) и соответствующий сигнал  $s_{\Pi}(t)$ , полученный его периодическим повторением с периодом  $T_{\Pi} = \frac{2\pi}{\Omega}$  (рис.5.2-4).

Периодический сигнал  $s_{\Pi}(t)$  представим рядом Фурье в комплексной форме:

$$s_{\Pi}(t) = \sum_{n=-\infty}^{+\infty} C_n e^{jn\Omega t}, \quad (5.2)$$

где  $C_n = \frac{1}{T} S(n\Omega)$ .

При выполнении условия теоремы  $\Omega \leq \frac{2\pi}{\tau_u}$  периодизация сигнала происходит без наложения повторяющихся копий исходного сигнала и соответствует рис.5.2 и 5.3. так как  $T_{\Pi} \geq \tau_u$ , при этом на интервале  $\left[ -\frac{T_{\Pi}}{2}, \frac{T_{\Pi}}{2} \right]$  имеет место равенство  $s(t) = s_{\Pi}(t)$ . С учётом этого для спектральной плотности сигнала запишем:

$$S(\omega) = \int_{-\infty}^{+\infty} s(t) e^{-j\omega t} dt = \int_{-T_{\Pi}/2}^{T_{\Pi}/2} s_{\Pi}(t) e^{-j\omega t} dt.$$

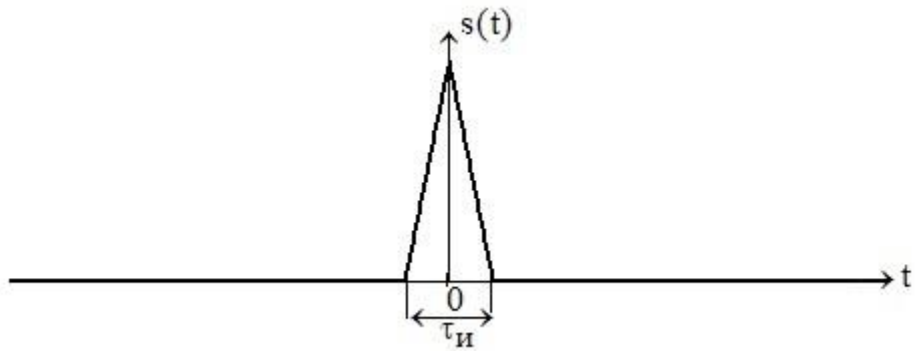


Рис.5.1. Сигнал с ограниченной длительностью

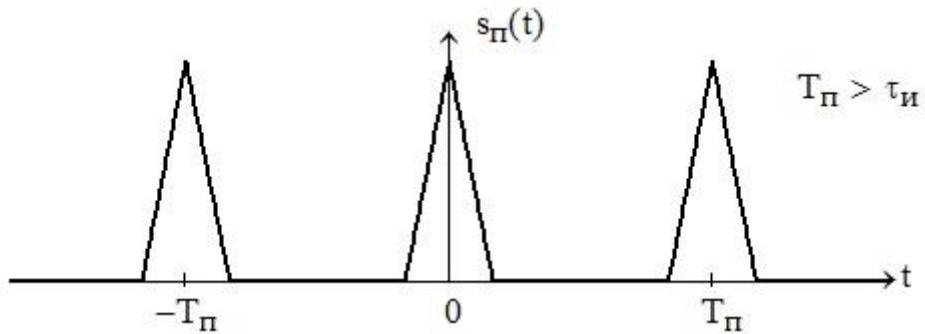


Рис.5.2. Периодический сигнал при  $T_{\pi} > \tau_u$

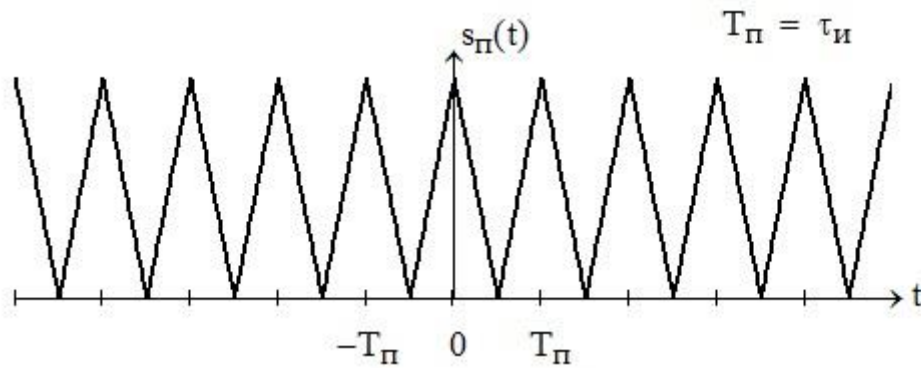


Рис.5.3. Периодический сигнал при  $T_{\pi} = \tau_u$

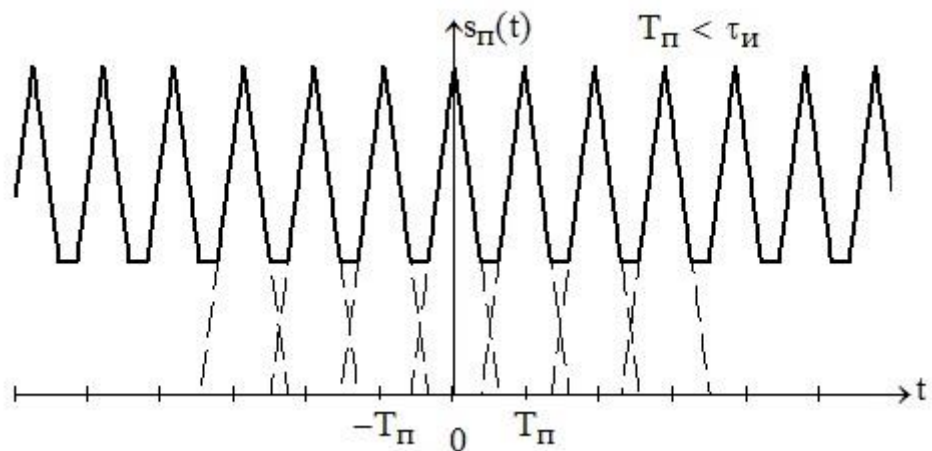


Рис.5.4. Периодический сигнал при  $T_{\pi} < \tau_u$

Подставим в последнее выражение  $s_{\Pi}(t)$  в виде (5.2) и преобразуем:

$$\begin{aligned}
 S(\omega) &= \int_{-\frac{T_{\Pi}}{2}}^{\frac{T_{\Pi}}{2}} \sum_{n=-\infty}^{+\infty} C_n e^{jn\Omega t} e^{-j\omega t} dt = \sum_{n=-\infty}^{+\infty} C_n \int_{-\frac{T_{\Pi}}{2}}^{\frac{T_{\Pi}}{2}} e^{-j(\omega-n\Omega)t} dt = \\
 &= - \sum_{n=-\infty}^{+\infty} C_n \frac{e^{-j(\omega-n\Omega)t}}{j(\omega-n\Omega)} \Bigg|_{-\frac{T_{\Pi}}{2}}^{\frac{T_{\Pi}}{2}} = \sum_{n=-\infty}^{+\infty} C_n T_{\Pi} \operatorname{sinc} \left[ \frac{T_{\Pi}}{2} (\omega - n\Omega) \right] = \\
 &= \sum_{n=-\infty}^{+\infty} S(n\Omega) \operatorname{sinc} \left[ \frac{\pi}{\Omega} (\omega - n\Omega) \right].
 \end{aligned}$$

Полученный результат совпадает с (5.1).

Сделаем несколько замечаний к доказанной теореме.

Переход от сплошного спектра к дискретному соответствует периодизации сигнала. Если условие  $\Omega \leq \frac{2\pi}{\tau_u}$  не выполняется, то

происходит наложение периодически повторяющихся копий исходного сигнала – так называемый эффект наложения во временной области. В условиях наложения невозможно однозначно установить спектру какого сигнала принадлежит заданная совокупность отчётов, а, следовательно, и восстановить спектр: результат восстановления спектра зависит от того, какой из сигналов мы выберем в качестве образующего периодическую последовательность.

Теорема Котельникова в частотной области может рассматриваться как следствие из теоремы Котельникова и свойства симметрии преобразования Фурье.

Доказанная теорема относится в равной мере как к спектрам аналоговых сигналов, так и к спектрам дискретных сигналов, то есть речь идёт о дискретизации сплошных спектров вообще. Переход к дискретному спектру является основой методов цифровой обработки сигналов в частотной области.

## 5.2. Спектральное представление дискретных сигналов

Будем рассматривать дискретные сигналы в виде числовых последовательностей  $s = \{s[n]\}_{n=0}^{N-1}$  длины  $N$ . Определим для них операцию сложения и умножения на число поэлементно:

$$\begin{aligned} \{s_1[n]\}_{n=0}^{N-1} + \{s_2[n]\}_{n=0}^{N-1} &= \{s_1[n] + s_2[n]\}_{n=0}^{N-1}, \\ \lambda \{s[n]\}_{n=0}^{N-1} &= \{\lambda s[n]\}_{n=0}^{N-1}. \end{aligned} \quad (5.3)$$

Нулевой элемент

$$0 = \{s[n] = 0\}_{n=0}^{N-1}. \quad (5.4)$$

Нетрудно убедиться, что рассматриваемая совокупность дискретных сигналов образует линейное пространство размерности  $N$ , поскольку для представления любого сигнала достаточно  $N$  базисных элементов вида:  $\{1,0,\dots,0\}$ ;  $\{0,1,\dots,0\}$ ; ...  $\{0,0,\dots,1\}$ .

Введём скалярное произведение:

$$(s_1, s_2) = \sum_{n=0}^{N-1} s_1[n] s_2^*[n]. \quad (5.5)$$

Убедимся, что введённая операция обладает свойствами скалярного произведения:

1.  $(s_1, s_2)^* = \left( \sum_{n=0}^{N-1} s_1[n] s_2^*[n] \right)^* = (s_2, s_1)$ ;
2.  $(\alpha s_1 + \beta s_2, s_3) = \sum_{n=0}^{N-1} (\alpha s_1[n] + \beta s_2[n]) s_3^*[n] = \alpha (s_1, s_3) + \beta (s_2, s_3)$ ;
3.  $(s, s) = \sum_{n=0}^{N-1} s[n] s^*(n) = \sum_{n=0}^{N-1} |s[n]|^2 \geq 0$ .

Норма, порождённая скалярным произведением:

$$\|s\| = \sqrt{(s, s)} = \sqrt{\sum_{n=0}^{N-1} |s[n]|^2}. \quad (5.6)$$

Рассмотрим в линейном пространстве дискретных сигналов конечной длины  $N$  систему решетчатых функций вида:

$$\varphi_k = \{\varphi_k[n]\}_{n=0}^{N-1} = \left\{ e^{j \frac{2\pi}{N} kn} \right\}_{n=0}^{N-1}, \quad k = 0, \dots, N-1. \quad (5.7)$$

Данная система функций ортогональна, действительно:

$$\begin{aligned}
 (\varphi_k, \varphi_m) &= \sum_{n=0}^{N-1} \varphi_k[n] \varphi_m^*[n] = \sum_{n=0}^{N-1} e^{j\frac{2\pi}{N}kn} e^{-j\frac{2\pi}{N}mn} = \sum_{n=0}^{N-1} e^{j\frac{2\pi}{N}(k-m)n} = \\
 &= \sum_{n=0}^{N-1} e^{j\frac{2\pi}{N}(k-m)n} = \begin{cases} N, k = m \\ 1 + e^{j\frac{2\pi}{N}(k-m)} + \dots + e^{j\frac{2\pi}{N}(k-m)(N-1)}, k \neq m \end{cases} .
 \end{aligned}$$

Рассматривая сумму в последнем выражении, как сумму первых  $N$  членов геометрической прогрессии с начальным членом 1 и знаменателем  $e^{j\frac{2\pi}{N}(k-m)}$ , получим:

$$(\varphi_k, \varphi_m) = \begin{cases} N, k = m \\ \frac{1 - e^{j2\pi(k-m)}}{1 - e^{j\frac{2\pi}{N}(k-m)}}, k \neq m \end{cases} = \begin{cases} N, k = m \\ 0, k \neq m \end{cases} .$$

Квадрат нормы рассматриваемых функций

$$\|\varphi_k\|^2 = N, \quad k = 0, \dots, N-1. \quad (5.8)$$

Система функций (5.7) не только ортогональна, но и полна, так как количество функций в системе совпадает с размерностью пространства  $N$ , поэтому образует ортогональный базис, то есть любой сигнал в рассматриваемом пространстве может быть представлен в виде:

$$s = \sum_{k=0}^{N-1} C_k \varphi_k,$$

где  $C_k = \frac{1}{\|\varphi_k\|^2} (s, \varphi_k)$ . Обозначив  $S_{\text{д}}[k] = NC_k$ , подставив базисные функции и развернув скалярное произведение, последние выражения перепишем как:

$$S_{\text{д}}[k] = \sum_{n=0}^{N-1} s[n] e^{-j\frac{2\pi}{N}nk}, \quad k = 0, \dots, N-1. \quad (5.9a)$$

$$s[n] = \frac{1}{N} \sum_{k=0}^{N-1} S_{\text{д}}[k] e^{j\frac{2\pi}{N}nk}, \quad n = 0, \dots, N-1 \quad (5.9б)$$

Пара выражений (5.9) определяет взаимно-однозначное преобразование последовательностей  $\{s[n]\}_{n=0}^{N-1}$  и  $\{S_d[k]\}_{k=0}^{N-1}$ . Преобразование (5.9а) называется прямым дискретным преобразованием Фурье (ДПФ). Преобразование (5.9б) называется обратным дискретным преобразованием Фурье (ОДПФ).

Сокращённо соответствие в смысле (5.9) обозначается как  $s[n] \leftrightarrow S_d[k]$ , прямое ДПФ  $S_d[k] = DFT\{s[n]\}$ , обратное  $s[n] = DFT^{-1}\{S_d[k]\}$  от английского «Discrete Fourier Transform».

Как видно из (5.9б) при ДПФ дискретный сигнал представляется в виде совокупности комплексных гармонических дискретных сигналов с частотами  $\Omega_k = \frac{2\pi}{NT}k$  с амплитудами  $\frac{1}{N}|S_d[k]|$  и начальными фазами  $\varphi_{S_d}[k] = \arg S_d[k]$ . Сами значения  $\frac{1}{N}S_d[k]$  при этом имеют смысл комплексных амплитуд комплексных гармоник сигнала. В случае, когда рассматриваются действительные сигналы возможна и тригонометрическая, более наглядная, форма ОДПФ:

$$\begin{aligned} s[n] = \operatorname{Re} s[n] &= \operatorname{Re} \frac{1}{N} \sum_{k=0}^{N-1} S_d[k] e^{j\frac{2\pi}{N}nk} = \\ &= \frac{1}{N} \sum_{k=0}^{N-1} |S_d[k]| \cos\left(\frac{2\pi}{N}nk + \varphi_{S_d}[k]\right). \end{aligned}$$

Последовательность  $\{S_d[k]\}_{k=0}^{N-1}$  называется комплексным дискретным спектром дискретного сигнала. Последовательность  $\{|S_d[k]|\}_{k=0}^{N-1}$  называется амплитудным дискретным спектром дискретного сигнала. Последовательность  $\{\varphi_{S_d}[k]\}_{k=0}^{N-1}$  называется фазовым дискретным спектром дискретного сигнала.

ДПФ связано с Z-преобразованием дискретного сигнала:

$$S_d[k] = S(z) \Big|_{z=e^{j\frac{2\pi}{N}k}} = \sum_{n=0}^{N-1} s[n] z^{-n} \Big|_{z=e^{j\frac{2\pi}{N}k}} \quad (5.10)$$

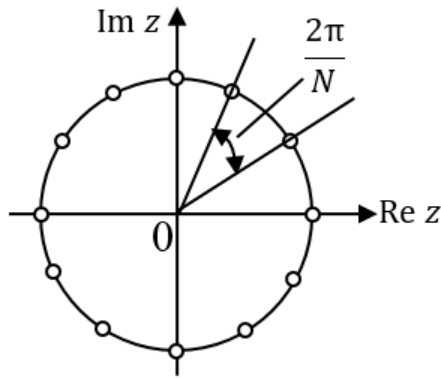


Рис.5.5.  $z$ -плоскость

В соответствии с (5.10) ДПФ можно рассматривать как  $Z$  – преобразование сигнала, взятое в  $N$  точках, равномерно распределённых на единичной окружности комплексной  $z$  - плоскости (рис.5.5).

Если снять ограничения на изменение дискретных переменных  $n, k$  в (5.9), то нетрудно убедиться, что дискретное преобразование

Фурье связывает две периодические последовательности периода  $N$ . В дальнейшем, если не оговорено особо будем считать  $n$  и  $k$  целыми числами.

### 5.3. Основные свойства ДПФ

Рассмотрим некоторые основные свойства ДПФ. Особое внимание следует обратить на то, что свойства ДПФ формулируются именно для неограниченных  $n$  и  $k$ , а последовательности  $\{s[n]\}_{n=-\infty}^{+\infty}$ ,  $\{s_{1,2,3}[n]\}_{n=-\infty}^{+\infty}$  и  $\{S_{д}[k]\}_{k=-\infty}^{+\infty}$ ,  $\{S_{д1,2,3}[k]\}_{k=-\infty}^{+\infty}$  рассматриваются периодическими с периодом  $N$ .

#### 5.3.1. Линейность

$$DFT\{k_1 s_1[n] + k_2 s_2[n]\} = k_1 DFT\{s_1[n]\} + k_2 DFT\{s_2[n]\}. \quad (5.11)$$

Доказательство свойства линейности может быть осуществлено непосредственной подстановкой в (5.9). Выполнение свойства линейности означает, что линейной комбинации сигналов соответствует такая же линейная комбинация их дискретных комплексных спектров.

#### 5.3.2. Циклический сдвиг

$$DFT\{s[n - m]\} = DFT\{s[n]\} e^{-j \frac{2\pi}{N} km}, \quad m = 0, \pm 1, \pm 2, \dots \quad (5.12)$$

Для доказательства рассмотрим ОДПФ сигнала со сдвигом

$$s[n - m] = \frac{1}{N} \sum_{k=0}^{N-1} S_{д}[k] e^{j \frac{2\pi}{N} (n-m)k} = \frac{1}{N} \sum_{k=0}^{N-1} \left( S_{д}[k] e^{-j \frac{2\pi}{N} mk} \right) e^{j \frac{2\pi}{N} nk} =$$

$$= DFT^{-1} \left\{ S_{\text{д}}[k] e^{-j \frac{2\pi}{N} mk} \right\},$$

откуда в виду взаимной однозначности ДПФ следует (5.12).

### 5.3.3. Циклическая свёртка

Циклическая свёртка определяется для двух дискретных сигналов периода  $N$  выражением

$$s_1 * s_2[n] = \sum_{n'=0}^{N-1} s_1[n'] s_2[n-n'] = \sum_{n'=0}^{N-1} s_1[n-n'] s_2[n']. \quad (5.13)$$

В результате выполнения циклической свёртки получается дискретный сигнал с периодом  $N$ .

Циклической свёртке сигналов соответствует произведение их ДПФ:

$$DFT\{s_1 * s_2[n]\} = DFT\{s_1[n]\} DFT\{s_2[n]\}. \quad (5.14)$$

Действительно, учетом свойств линейности и циклического сдвига имеем:

$$\begin{aligned} DFT\{s_1 * s_2[n]\} &= DFT \left\{ \sum_{n'=0}^{N-1} s_1[n'] s_2[n-n'] \right\} = \\ &= \sum_{n'=0}^{N-1} s_1[n'] DFT\{s_2[n-n']\} = DFT\{s_2[n]\} \sum_{n'=0}^{N-1} s_1[n'] e^{-j \frac{2\pi}{N} kn'} = \\ &= DFT\{s_1[n]\} DFT\{s_2[n]\}. \end{aligned}$$

### 5.4. Спектральная плотность дискретного сигнала и дискретное преобразование Фурье

Для определения спектра дискретного сигнала рассмотрим его преобразование Фурье:

$$\begin{aligned} S_{\text{д}}(\omega) &= F\{s_{\text{д}}(t)\} = F \left\{ \sum_{n=-\infty}^{+\infty} s(nT) \delta(t-nT) \right\} = \\ &= \sum_{n=-\infty}^{+\infty} s(nT) F\{\delta(t-nT)\} = \sum_{n=-\infty}^{+\infty} s(nT) e^{-j\omega nT} = \\ &= \sum_{n=-\infty}^{+\infty} s[n] e^{-j\omega nT}. \end{aligned} \quad (5.15)$$



Полученное выражение позволяет определить спектральную плотность дискретного сигнала, когда известна последовательность  $\{s[n]\}_{n=-\infty}^{+\infty}$ .

Спектральная плотность дискретного сигнала, к которому применимо  $Z$  – преобразование может быть выражена через последнее. Сравнивая выражения для спектра и  $Z$  – преобразования такого сигнала

$$S_{\text{д}}(\omega) = \sum_{n=0}^{+\infty} s[n]e^{-j\omega nT} \quad \text{и} \quad S(z) = \sum_{n=0}^{+\infty} s[n]z^{-n},$$

установим, что

$$S_{\text{д}}(\omega) = S(z)\Big|_{z=e^{j\omega T}} = S(e^{j\omega T}). \quad (5.16)$$

Запись  $S(e^{j\omega T})$  часто также используется как обозначение спектральной плотности дискретного сигнала. Спектральная плотность дискретного сигнала, таким образом, является его  $Z$  – преобразованием, рассматриваемым на единичной окружности комплексной плоскости параметра  $z$ .

Структура (5.15) такова, что  $S_{\text{д}}(\omega)$  можно рассматривать и как функцию нормированной частоты  $\omega T$ . Один период спектра дискретного сигнала занимает интервал  $[0, \omega_{\text{д}}]$  при этом  $\omega T$  изменяется от нуля до  $2\pi$ .

Рассмотрим теперь сигналы ограниченной длительности  $\tau_u$  так, что ненулевые отсчёты имеют номера  $n = 0, \dots, N-1$  и  $N \gg 1$ , при этом  $\tau_u = (N-1)T \approx NT$ . Дискретизируем спектр такого сигнала с максимальным шагом дискретизации  $\Omega = \frac{2\pi}{\tau_u} = \frac{2\pi}{NT}$ , при

этом

$$\Omega T = \frac{2\pi}{N}. \quad (5.17)$$

Из (5.15) получим отсчёты спектра:

$$\begin{aligned} S_{\text{д}}(k\Omega) &= \sum_{n=0}^{N-1} s[n]e^{-jk\Omega nT} = \sum_{n=0}^{N-1} s[n]e^{-j\frac{2\pi}{N}kn} = \\ &= DFT\{s[n]\} = S_{\text{д}}[k]. \end{aligned}$$

Последняя запись показывает, что ДПФ последовательности

$\{s[n]\}_{n=0}^{N-1}$  даёт дискретные значения спектра  $S_d(\omega)$ , взятые с максимальным шагом.

### 5.5. Быстрое преобразование Фурье

Быстрое преобразование Фурье (БПФ) – это алгоритм, позволяющий сократить количество операций умножения при вычислении ДПФ. Как видно из (5.9а), для расчёта значений  $\{S_d[k]\}_{k=0}^{N-1}$  требуется  $N^2$  операций комплексного умножения ( $N$  умножений при однократном расчёте суммы, и эту сумму требуется посчитать  $N$  раз). Существует большое количество различных алгоритмов БПФ, в данном разделе будет рассмотрен только один пример БПФ по основанию 2, то есть предполагается, что  $N$  является натуральной степенью числа 2.

Введём обозначение  $W_N = e^{-j\frac{2\pi}{N}}$  и отметим некоторые свойства этой величины:

$$W_N^2 = \left( e^{-j\frac{2\pi}{N}} \right)^2 = e^{-j\frac{2\pi}{N/2}} = W_{N/2}; \quad (5.18a)$$

$$W_N^{N/2} = \left( e^{-j\frac{2\pi}{N}} \right)^{N/2} = e^{-j\pi} = -1; \quad (5.18б)$$

$$W_N^{(N/2+m)} = W_N^{N/2} W_N^m = -W_N^m. \quad (5.18в)$$

В последовательности  $\{s[n]\}_{n=0}^{N-1}$  выделим две подпоследовательности так, чтобы одна  $\{s_{\text{ч}}[n]\}_{n=0}^{N/2-1}$  содержала только члены исходной последовательности с чётными номерами, а другая  $\{s_{\text{н}}[n]\}_{n=0}^{N/2-1}$  – только с нечётными:

$$s_{\text{ч}}[n] = s[2n];$$

$$s_{\text{н}}[n] = s[2n+1], \quad n = 0, \dots, N/2-1.$$

С учётом введённых обозначений преобразуем (5.9а):

$$\begin{aligned}
 S_{\text{д}}[k] &= \sum_{n=0}^{N-1} s[n]W_N^{nk} = \sum_{\substack{n=0 \\ n-\text{чётное}}}^{N-1} s[n]W_N^{nk} + \sum_{\substack{n=0 \\ n-\text{нечётное}}}^{N-1} s[n]W_N^{nk} = \\
 &= \sum_{n=0}^{N/2-1} s[2n]W_N^{2nk} + \sum_{n=0}^{N/2-1} s[2n+1]W_N^{(2n+1)k} = \\
 &= \sum_{n=0}^{N/2-1} s_{\text{ч}}[n](W_N^2)^{nk} + \sum_{n=0}^{N/2-1} s_{\text{н}}[n](W_N^2)^{nk} W_N^k = \\
 &= \sum_{n=0}^{N/2-1} s_{\text{ч}}[n]W_{N/2}^{nk} + \sum_{n=0}^{N/2-1} s_{\text{н}}[n]W_{N/2}^{nk}W_N^k = \\
 &= S_{\text{ч}}[k] + W_N^k S_{\text{н}}[k], \quad k = 0, \dots, N-1,
 \end{aligned}$$

где  $S_{\text{ч}}[k] = DFT\{s_{\text{ч}}[n]\}$  и  $S_{\text{н}}[k] = DFT\{s_{\text{н}}[n]\}$  -  $N/2$  - точечные ДПФ подпоследовательностей. Рассмотрим подробнее процедуру вычисления ДПФ с помощью полученной формулы, представленную в табл. 5.1. Номерам  $k = 0, \dots, N/2 - 1$  соответствует один период  $N/2$ -точечного ДПФ подпоследовательностей. Дальнейшие вычисления при  $k = N/2, \dots, N-1$  соответствуют уже второму периоду  $N/2$ -точечного ДПФ подпоследовательностей.

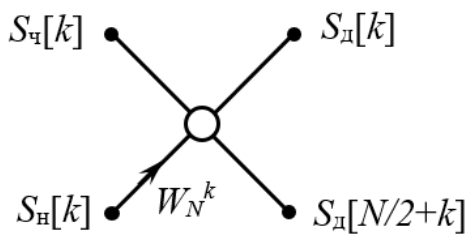


Рис.5.6. Базовая операция при БПФ

При этом значения  $S_{\text{ч}}[k]$  и  $S_{\text{н}}[k]$  заново вычислять нет никакой необходимости, поскольку они были вычислены на первом периоде. Таким образом значения  $S_{\text{д}}[k]$  и  $S_{\text{д}}[N/2+k]$  могут быть получены в единой вычислительной процедуре вида:

$$\begin{aligned}
 S_{\text{д}}[k] &= S_{\text{ч}}[k] + W_N^k S_{\text{н}}[k] \\
 S_{\text{д}}[N/2+k] &= S_{\text{ч}}[k] - W_N^k S_{\text{н}}[k]
 \end{aligned}, \quad k = 0, \dots, N-1, \quad (5.19)$$

сразу же, как только вычислены  $S_{\text{ч}}[k]$  и  $S_{\text{н}}[k]$ , с выполнением только одного комплексного умножения для получения  $W_N^k S_{\text{н}}[k]$ , что схематично изображают как показано на рис.5.6. Ввиду внешнего сходства рассматриваемую процедуру иногда называют «бабочка».

Таблица 5.1.

Процедура вычисления ДПФ

|                       |   |  |
|-----------------------|---|--|
| $k = 0$               | $S_{\text{д}}[0] = S_{\text{ч}}[0] + W_N^0 S_{\text{н}}[0]$   | Первый период<br>$N/2$ -точечного<br>ДПФ |
| $k = 1$               | $S_{\text{д}}[1] = S_{\text{ч}}[1] + W_N^1 S_{\text{н}}[1]$   |  |
| $k = 2$               | $S_{\text{д}}[2] = S_{\text{ч}}[2] + W_N^2 S_{\text{н}}[2]$   |  |
| ...                   | ...   |  |
| $k = \frac{N}{2} - 1$ | $S_{\text{д}}\left[\frac{N}{2} - 1\right] = S_{\text{ч}}\left[\frac{N}{2} - 1\right] + W_N^{N/2-1} S_{\text{н}}\left[\frac{N}{2} - 1\right]$  | Второй период $N/2$ -точечного ДПФ       |
| $k = \frac{N}{2}$     | $S_{\text{д}}\left[\frac{N}{2}\right] = S_{\text{ч}}\left[\frac{N}{2}\right] + W_N^{N/2} S_{\text{н}}\left[\frac{N}{2}\right] =$<br>$= S_{\text{ч}}[0] - W_N^0 S_{\text{н}}[0]$               |  |
| $k = \frac{N}{2} + 1$ | $S_{\text{д}}\left[\frac{N}{2} + 1\right] = S_{\text{ч}}\left[\frac{N}{2} + 1\right] + W_N^{N/2+1} S_{\text{н}}\left[\frac{N}{2} + 1\right] =$<br>$= S_{\text{ч}}[1] - W_N^1 S_{\text{н}}[1]$ |  |
| $k = \frac{N}{2} + 2$ | $S_{\text{д}}\left[\frac{N}{2} + 2\right] = S_{\text{ч}}\left[\frac{N}{2} + 2\right] + W_N^{N/2+1} S_{\text{н}}\left[\frac{N}{2} + 2\right] =$<br>$= S_{\text{ч}}[2] - W_N^2 S_{\text{н}}[2]$ |  |
| ...                   | ...   |  |
| $k = N - 1$           | $S_{\text{д}}[N - 1] = S_{\text{ч}}[N - 1] + W_N^{N-1} S_{\text{н}}[N - 1] =$<br>$= S_{\text{ч}}\left[\frac{N}{2} - 1\right] - W_N^{N/2-1} S_{\text{н}}\left[\frac{N}{2} - 1\right]$          |  |

При расчёте  $N/2$  - точечных ДПФ объём алгоритмов также оказывается степенью двойки и снова может быть использован рассмотренный подход, который будет предполагать расчёт  $N/4$  - точечных ДПФ и так до тех пор, пока длина подпоследовательностей не окажется равной 2.

Полные наглядные схемы алгоритма БПФ, отражающие изложенный подход, при произвольном объёме достаточно громоздки. Рассмотрим пример при  $N = 8 = 2^3$  на рис.5.7-5.9. Блок двухточечного ДПФ, показанный на рис. 5.9 формально содержит одно умножение  $M_2 = 1$ .

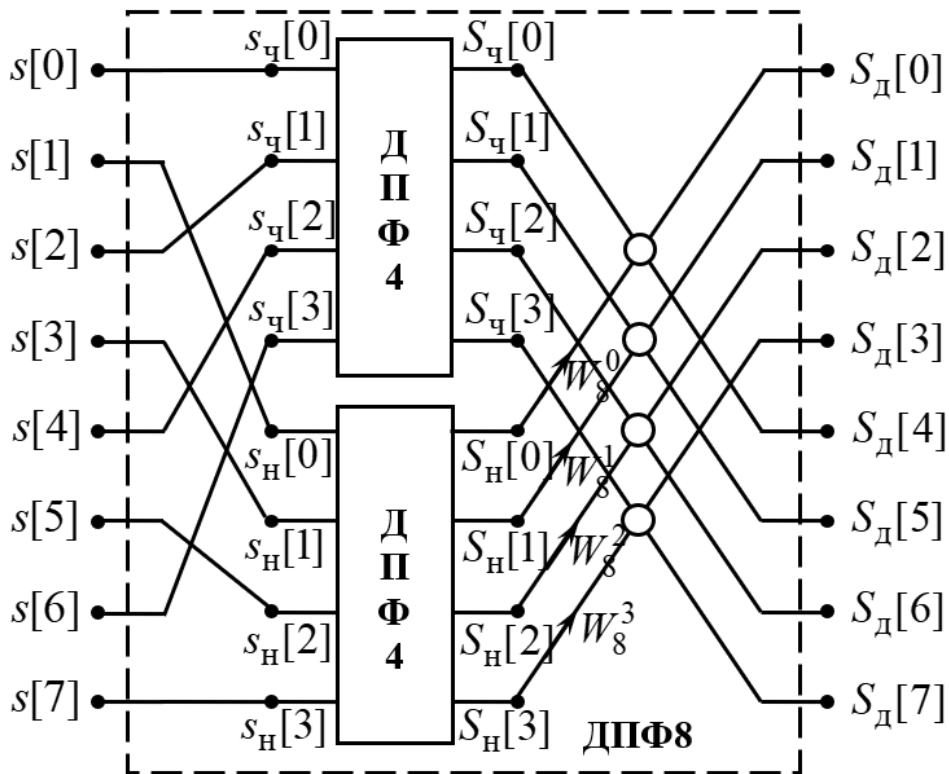


Рис.5.7. Схема алгоритма 8-ми точечного БПФ

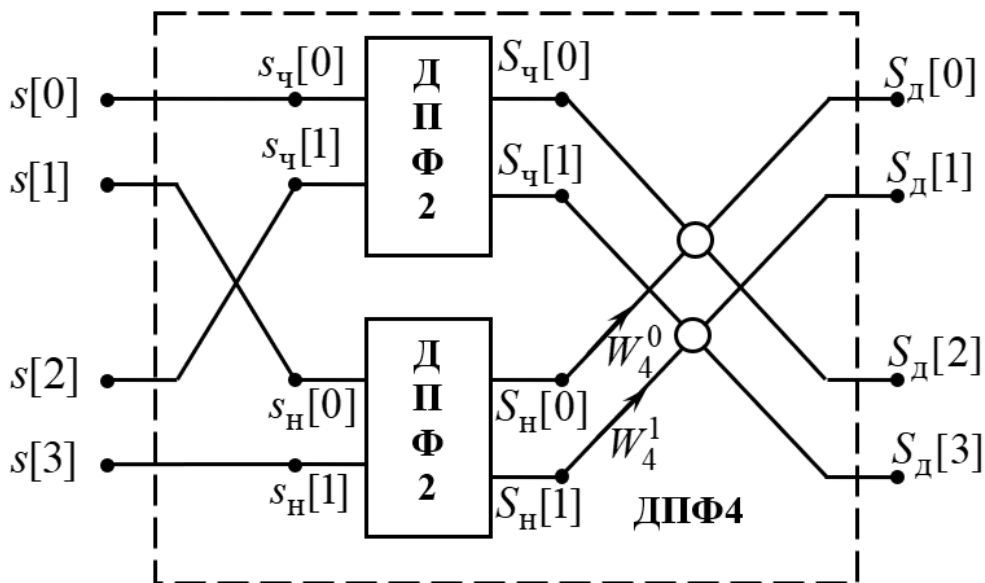


Рис.5.8. Схема алгоритма 4-х точечного БПФ

Далее 4-х точечное ДПФ на рис.5.8 содержит два блока 2-х точечных ДПФ (по  $M_2$  умножений в каждом) и два собственных умножения  $M_4 = 2M_2 + 2$ .

Затем 8-ми точечное ДПФ на рис.5.7 содержит два блока 4-х

точечных ДПФ (по  $M_4$  умножений в каждом) и четыре собственных умножения  $M_8 = 2M_4 + 4$ .

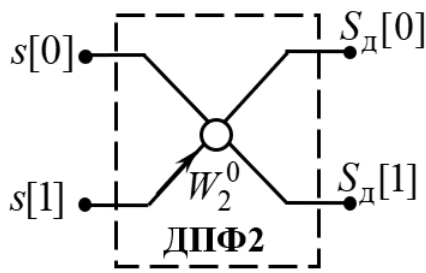


Рис.5.9. Схема двухточечного БПФ

Продолжая рассуждения для количества умножений в общем случае  $N$ -точечного ДПФ сможем записать

$$M_N = 2M_{N/2} + N/2.$$

Непосредственной подстановкой нетрудно убедиться, что решением этого разностного уравнения является

$$M_N = \frac{N}{2} \log_2 N. \quad (5.20)$$

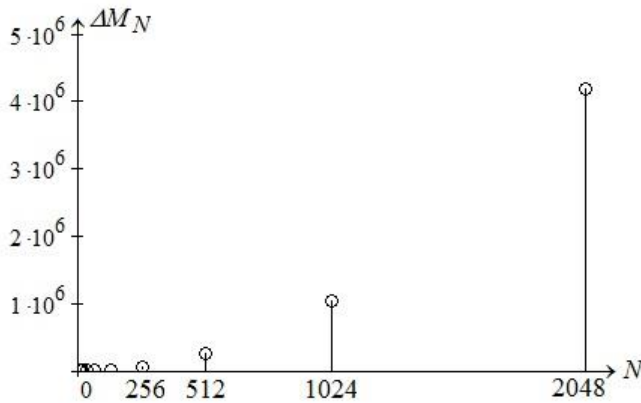


Рис.5.10. Разность количества умножений ДПФ и БПФ

На рис.5.10 показана разность количества операций умножения, требуемых при прямом расчёте ДПФ и при использовании БПФ. Уже при  $N = 1024$  разница в количестве умножений достигает миллиона.

### 5.6. Детализация спектра при ДПФ

При цифровом спектральном анализе непосредственное сочетание скорости расчёта спектра на основе БПФ и детальности его представления оказывается затруднительным ввиду того, что ДПФ даёт отсчёты спектра сигнала, взятые с максимальным шагом. Например, ДПФ прямоугольного импульса (рис.5.11) практически не позволяет установить структуру спектра, так как содержит всего один ненулевой отсчёт.

Если имеется возможность изменить количество отсчётов в сигнале, например, увеличить их количество в два раза, то легко обнаружить, что этот приём не даст улучшение детализации спектра (рис.5.12). Действительно, в случае, когда сигнал представлен  $N$  отсчётами и дискретизирован с периодом  $T$ , ДПФ даёт отсчёты его спектра с частотным интервалом

$$\Omega = 2\pi / NT.$$

После увеличения числа отсчётов в два раза, период дискретизации соответственно уменьшится в два раза, и для интервала дискретизации получим

$$\Omega_2 = 2\pi / 2N(T/2) = 2\pi / NT = \Omega.$$

Изменение числа отсчётов не приводит к изменению шага дискретизации спектра при ДПФ, то есть не даёт возможности более детально исследовать его структуру.

Рассмотрим ситуацию, когда к исследуемому сигналу добавляются нулевые отсчёты (рис.5.13), то есть ДПФ выполняется над последовательностью

$$\{\tilde{s}(nT)\}_{n=0}^{\tilde{N}-1} = \{s(nT)\}_{n=0}^{N-1} \cup \{0\}_{n=N}^{\tilde{N}-1}.$$

При этом

$$\tilde{\Omega} = \frac{2\pi}{\tilde{N}T} = \frac{N}{\tilde{N}} \Omega.$$

Поскольку  $\tilde{N} > N$ , добавление нулевых отсчётов способствует уменьшению шага дискретизации спектра.

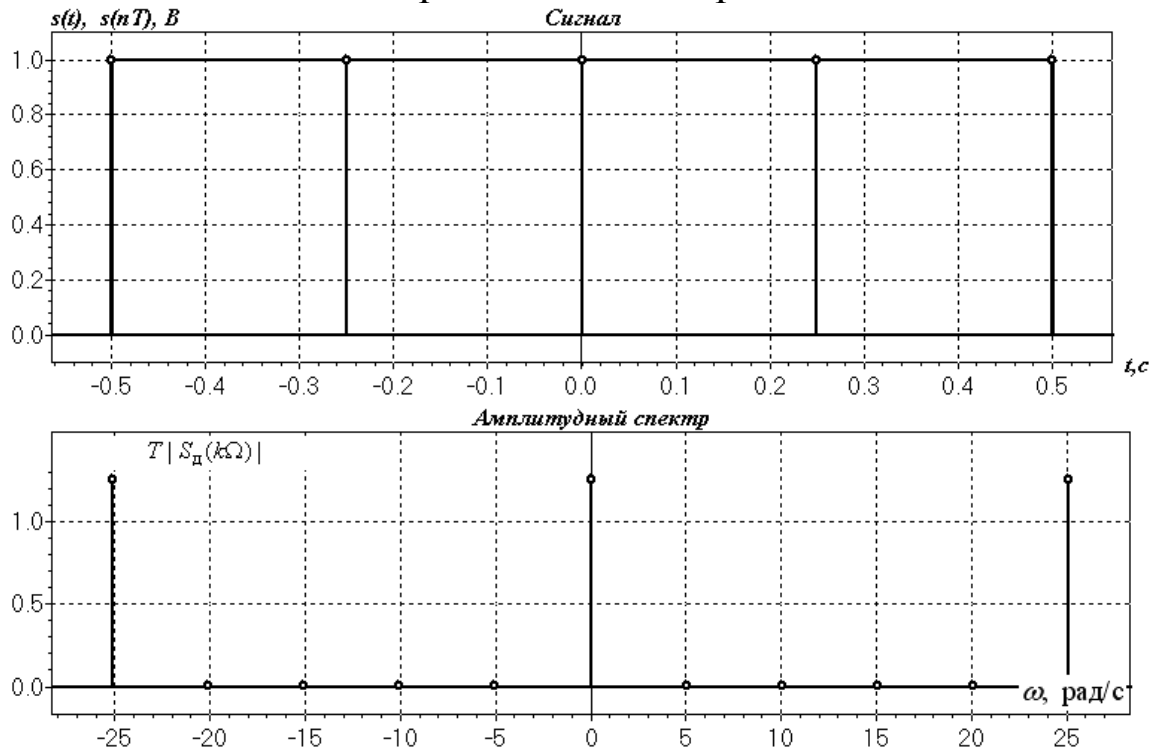


Рис.5.11. Дискретный прямоугольный импульс и его ДПФ

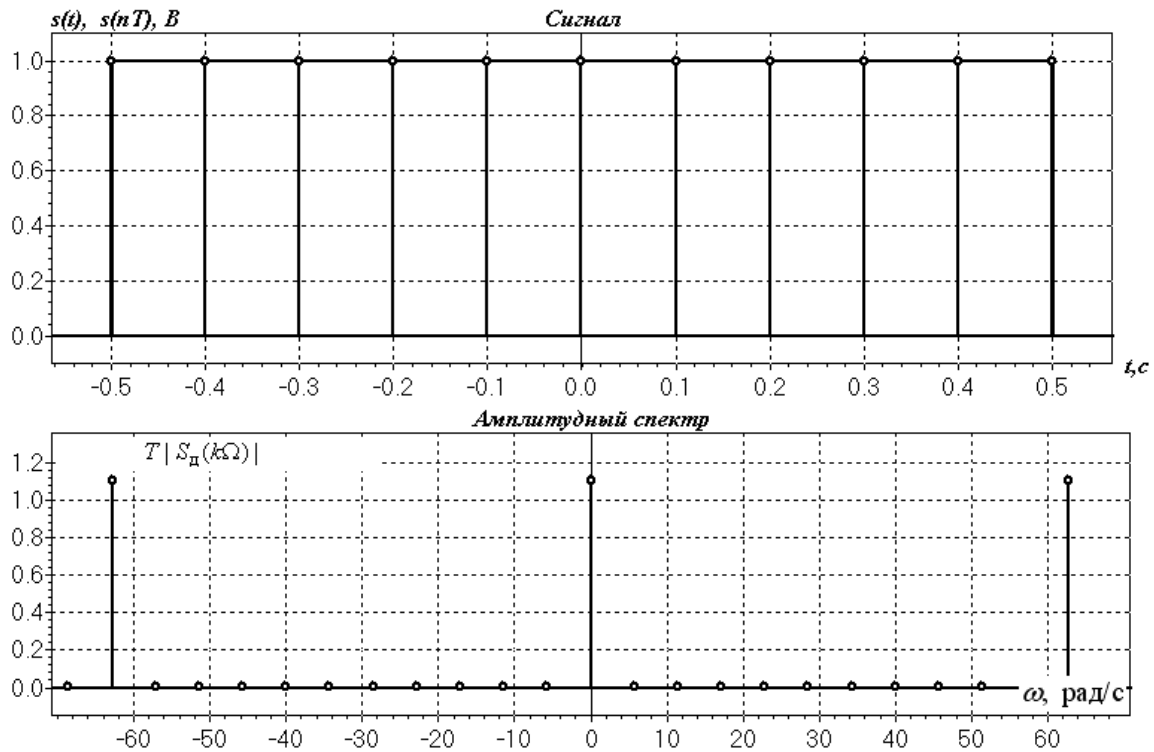


Рис.5.12. Дискретный прямоугольный импульс и его ДПФ при увеличении количества отсчётов в импульсе.

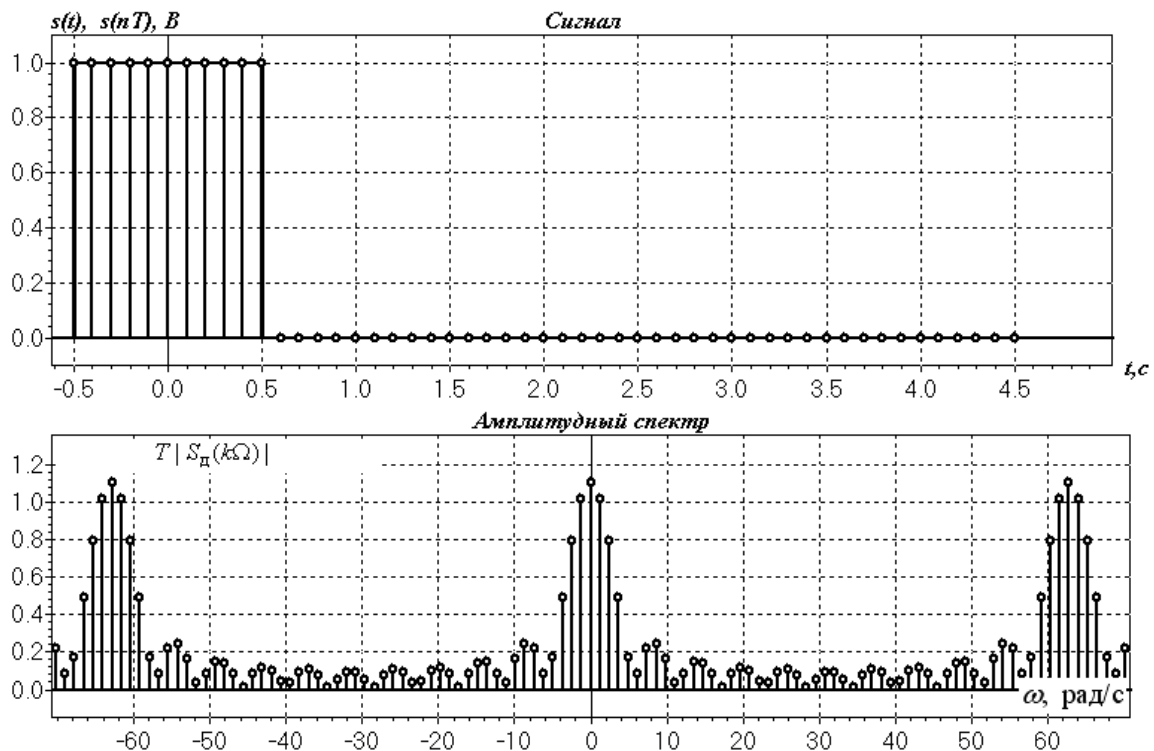


Рис.5.13. Дискретный прямоугольный импульс и его ДПФ при добавлении нулевых отсчётов

При использовании БПФ количество отсчётов в сигнале



должно быть степенью двойки. Поэтому добавление нулевых отсчётов должно выполняться так чтобы общее увеличение их числа тоже было степенью двойки. Например, исходное число отсчётов в сигнале, являющееся степенью числа 2, можно увеличивать в  $2^d$  раза

$$\tilde{N} = 2^d N.$$

Натуральный параметр  $d$  называют степенью детализации спектра. При этом

$$\tilde{\Omega} = \frac{N}{2^d N} \Omega = \frac{\Omega}{2^d}, \quad (5.21)$$

и увеличению детализации на единицу соответствует уменьшение шага дискретизации спектра в два раза.

Требуемое количество добавляемых нулевых отсчётов:

$$N_0 = \tilde{N} - N = (2^d - 1)N, \quad (5.22)$$

## 5.7. Примеры и задачи

### 5.7.1. Спектральная плотность дискретного экспоненциального импульса

Дискретный экспоненциальный импульс описывается выражением  $s(nT) = \sigma(nT)e^{-\alpha nT}$ . Временная диаграмма дискретного экспоненциального импульса показана на рис.5.14.

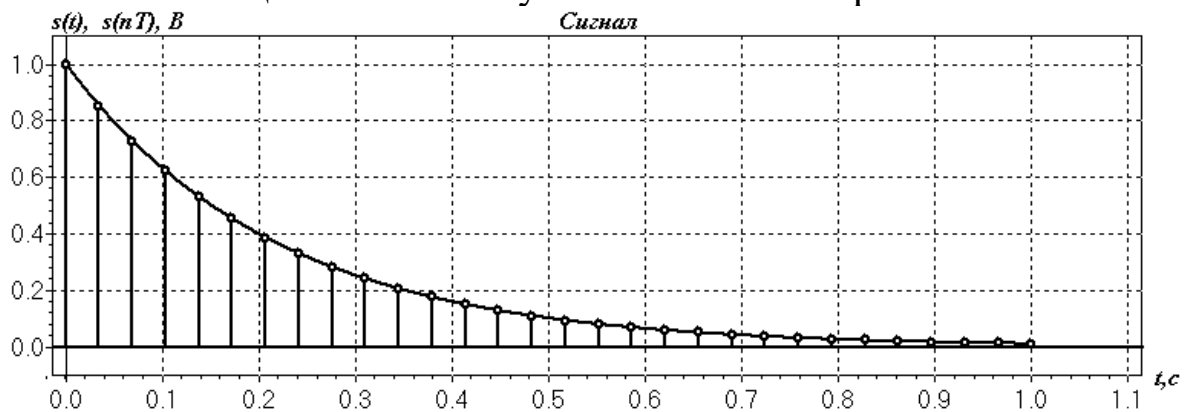


Рис.5.14. Временная диаграмма дискретного экспоненциального импульса

Выражение для  $Z$  – преобразования заданного сигнала имеет вид:

$$S(z) = \frac{1}{1 - e^{-\alpha T} z^{-1}}.$$

Учитывая взаимосвязь между спектральной плотностью и  $Z$  – преобразованием сигнала получим

$$S_D(\omega) = S(e^{j\omega T}) = \frac{1}{1 - e^{-\alpha T} e^{-j\omega T}} = \frac{1}{1 - e^{-(\alpha + j\omega)T}}.$$

Амплитудный спектр сигнала

$$\begin{aligned} |S_D(\omega)| &= \sqrt{S_D(\omega) S_D^*(\omega)} = \sqrt{\frac{1}{1 - e^{-\alpha T} e^{-j\omega T}} \frac{1}{1 - e^{-\alpha T} e^{j\omega T}}} = \\ &= \sqrt{\frac{1}{1 - e^{-\alpha T} e^{j\omega T} - e^{-\alpha T} e^{-j\omega T} + e^{-2\alpha T}}} = \frac{1}{\sqrt{1 - 2e^{-\alpha T} \cos(\omega T) + e^{-2\alpha T}}}. \end{aligned}$$

Фазовый спектр сигнала

$$\varphi_D(\omega) = \arg(S_D(\omega)) = -\operatorname{arctg}\left(\frac{e^{-\alpha T} \sin(\omega T)}{1 - e^{-\alpha T} \cos(\omega T)}\right).$$

Пример графиков амплитудного и фазового спектров показан на рис.5.15.

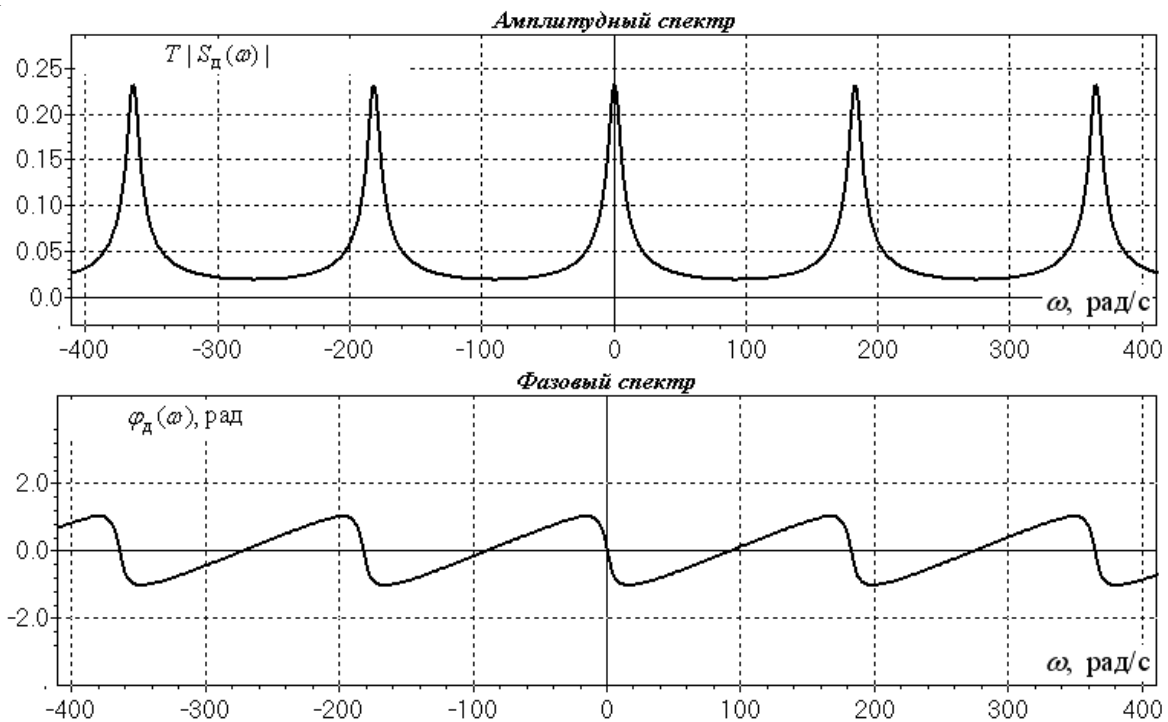


Рис.5.15. Амплитудный и фазовый спектры дискретного экспоненциального импульса

### 5.7.2. Спектральная плотность дискретного прямоугольного импульса

Дискретный прямоугольный импульс описывается выражением  $s(nT) = 1, 0 \leq n \leq N - 1$ .

Выражение для Z – преобразования дискретного прямоугольного импульса имеет вид:

$$S(z) = \frac{1 - z^{-N}}{1 - z^{-1}}.$$

Учитывая связь между спектральной плотностью и Z - преобразованием дискретного сигнала, получим

$$\begin{aligned} S_{\text{д}}(\omega) &= S(e^{j\omega T}) = \frac{1 - e^{-jN\omega T}}{1 - e^{-j\omega T}} = \frac{1 - e^{-jN\omega T}}{1 - e^{-j\omega T}} \frac{e^{-jN\omega T/2} e^{jN\omega T/2}}{e^{-j\omega T/2} e^{j\omega T/2}} = \\ &= \frac{2j e^{jN\omega T/2} - e^{-jN\omega T/2}}{2j e^{j\omega T/2} - e^{-j\omega T/2}} \frac{e^{-jN\omega T/2}}{e^{-j\omega T/2}} = \frac{\sin(N\omega T/2)}{\sin(\omega T/2)} e^{-j(N-1)\omega T/2} \end{aligned}$$

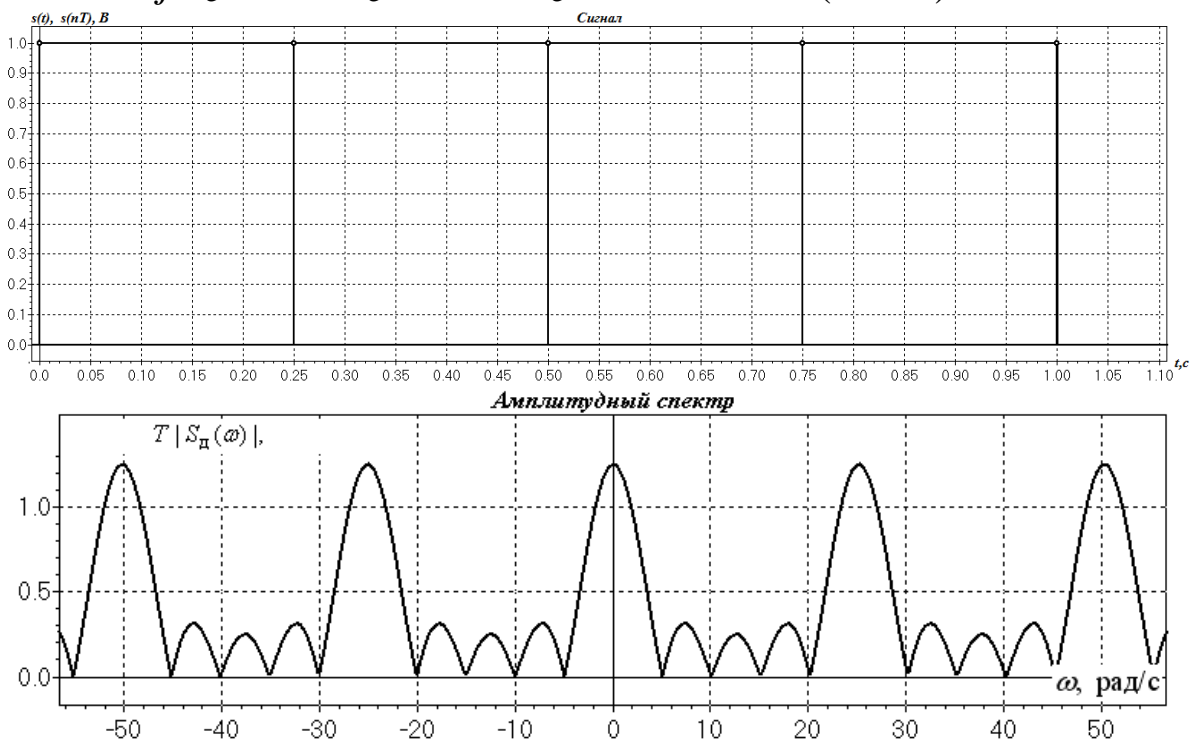


Рис.5.16. Дискретный прямоугольный импульс и его амплитудный спектр

Амплитудный спектр сигнала:

$$|S_{\text{д}}(\omega)| = \left| \frac{\sin(N\omega T/2)}{\sin(\omega T/2)} \right|.$$

Фазовый спектр сигнала:

$$\Phi_D(\omega) = \frac{\pi}{2} \left( 1 - \operatorname{sign} \left( \frac{\sin(N\omega T / 2)}{\sin(\omega T / 2)} \right) \right) \operatorname{sign}(\omega T) - \frac{(N-1)\omega T}{2}.$$

Пример дискретного прямоугольного импульса и его амплитудного спектра при  $N = 5$  показан на рис.5.16.

### 5.7.3. ДПФ усечённого экспоненциального импульса

Усечённый экспоненциальный импульс описывается выражением

$$s[n] = \sigma[n]e^{-\alpha nT}, \quad 0 \leq n \leq N-1.$$

Выражение для  $Z$  – преобразования данного сигнала имеет вид:

$$S(z) = \frac{1 - e^{-\alpha NT} z^{-N}}{1 - e^{-\alpha T} z^{-1}}.$$

Используя взаимосвязь между ДПФ и  $Z$  – преобразованием, получим:

$$S_D[k] = S \left( e^{j\frac{2\pi}{N}k} \right) = \frac{1 - e^{-\alpha NT} e^{-j\frac{2\pi}{N}Nk}}{1 - e^{-\alpha T} e^{-j\frac{2\pi}{N}k}} = \frac{1 - e^{-\alpha NT}}{1 - e^{-\alpha T} e^{-j\frac{2\pi}{N}k}}.$$

Дискретный амплитудный спектр сигнала:

$$|S_D[k]| = \frac{1 - e^{-\alpha NT}}{\sqrt{1 - 2e^{-\alpha T} \cos\left(\frac{2\pi}{N}k\right) + e^{-2\alpha T}}}.$$

Пример графика дискретного амплитудного спектра показан на рис.5.17.

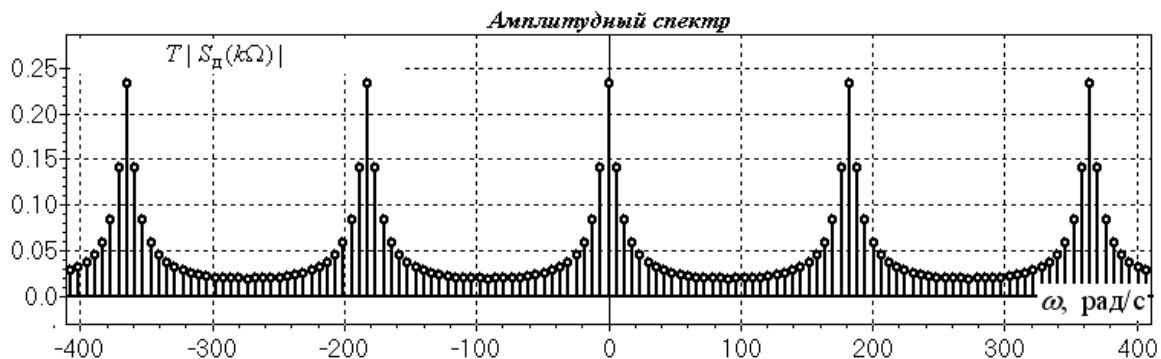


Рис.5.17. Пример дискретного амплитудного спектра усечённого экспоненциального импульса

### 5.7.4. ДПФ дискретного прямоугольного импульса

Дискретный прямоугольный импульс описывается выражением

$$\{s(nT)\}_{n=0}^{N-1} = \{1\}_{n=0}^{N-1}.$$

Выражение для спектральной плотности заданного сигнала имеет вид:

$$S_d(\omega) = \frac{\sin(N\omega T / 2)}{\sin(\omega T / 2)} e^{-j(N-1)\omega T / 2}.$$

ДПФ представляет собой результат дискретизации спектра дискретного сигнала с шагом  $\Omega = \frac{2\pi}{NT}$ . С учётом этого получим

$$\begin{aligned} S_d[k] = S_d(k\Omega) &= \frac{\sin(Nk\Omega T / 2)}{\sin(k\Omega T / 2)} e^{-j(N-1)k\Omega T / 2} = \\ &= \frac{\sin(Nk2\pi / 2N)}{\sin(k2\pi / 2N)} e^{-j(N-1)k2\pi / 2N} = \frac{\sin(k\pi)}{\sin(k\pi / N)} e^{-j(N-1)k\pi / N} = \\ &= N \sum_{i=-\infty}^{+\infty} \delta[k - iN]. \end{aligned}$$

Пример дискретного амплитудного спектра для  $N = 11$  показан на рис.5.18.

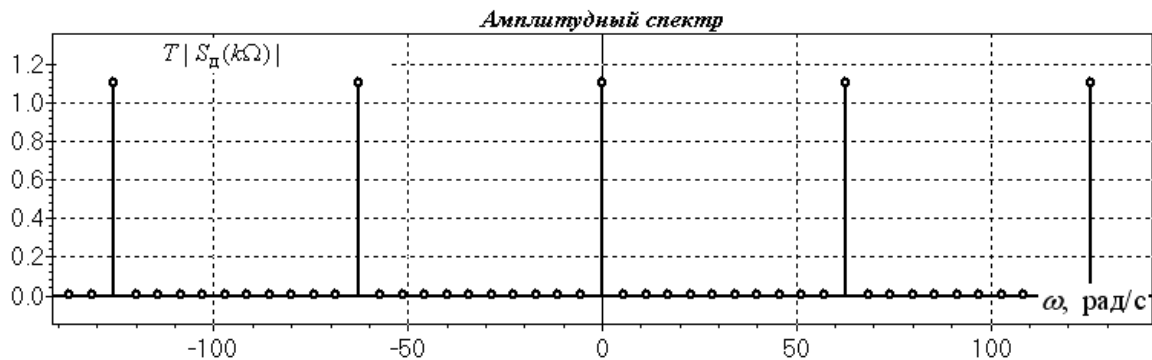


Рис.5.18. Пример дискретного амплитудного спектра  
 прямоугольного импульса